

чек» и очагов инициирования. Месторождение их, однако, может не совпадать из-за наличия периода индукции воспламенения.

Таким образом, работа [13], ограниченная, к сожалению, исследованием слоев узкого диапазона толщин, может рассматриваться как подтверждение излагавшейся выше картины хрупкого разрушения и инициирования тонких слоев твердых вторичных ВВ.

Поступила в редакцию
31/VIII 1974

ЛИТЕРАТУРА

1. Г. Г. Афanasьев, В. К. Боболев. Инициирование твердых взрывчатых веществ ударом. М., «Наука», 1968.
2. Г. Т. Афансьев, В. К. Боболев и др. ФГВ, 1972, 8, 2.
3. Ф. Ф. Буден, А. Д. Иоффе. Возбуждение и развитие взрыва в твердых и жидких взрывчатых веществах. М., ИЛ, 1955.
4. S. Kobayashi and E. G. Thomas. Int. J. Mech. Sci. 1965, 7, 2.
5. Т. Томас. Пластическое течение и разрушение в твердых телах. М., «Мир», 1964.
6. Л. М. Качанов. Основы теории пластичности. М., «Наука», 1969.
7. В. А. Сухих, Ю. Б. Харитон. В сб. «Вопросы теории взрывчатых веществ». Вып. I. М.—Л., Изд-во АН СССР, 1947.
8. Л. Г. Болховитинов. Докл. АН СССР, 1959, 125, 570.
9. Б. Г. Абрамович. Термоиндикаторы и их применение. М., «Энергия», 1972.
10. А. П. Амосов, Ж. А. Зиненко. Докл АН СССР, 1973, 209, 6.
11. Г. Т. Афансьев, В. К. Боболев, В. И. Долгов. В сб. «Горение и взрыв». М., «Наука», 1972.
12. А. П. Амосов, С. А. Бостанджиян, В. С. Козлов. ФГВ, 1972, 8, 3.
13. S. N. Heavens and G. E. Field. Proc. Roy. Soc., 1974, A338, 77—93.

УДК 620.178.7

ОТКОЛ В КВАЗИАКУСТИЧЕСКОМ ПРИБЛИЖЕНИИ

А. Г. Иванов

(Москва)

Экспериментально установлено, что прочность материала на динамический отрыв — откол есть функция временных характеристик нагружения: времени растяжения образца, скоростей нагружения или деформации.

Рядом авторов независимо были предприняты поиски эмпирических зависимостей, описывающих это явление. Но такое направление работы представляется малоперспективным. В работе [1] из рассмотрения уравнения движения трещин при нагружении материала импульсным давлением в форме полочки получен критерий откола, близкий к некоторым эмпирическим критериям и существенно отличный от кинетического уравнения С. Н. Журкова. Попытка описать явление откола уравнением С. Н. Журкова [2], предпринятая в работах [3, 4], не увенчалась успехом.

Почему же кинетическая теория временной прочности, столь блестяще подтвержденная экспериментом в интервале воздействия нагрузок от 10^{-3} до 10^7 с, оказывается непригодной для интервалов времени 10^{-7} — 10^{-6} с? Ответ следует искать в изменении режима нагружения. Так, при $t = 10^{-3}$ с длина нагружающего импульса $l_0 = ct \sim 5 \cdot 10^2$ см,

т. е. была заведомо больше испытуемого образца¹ и в этом смысле нагружение было статическим. Такая ситуация позволяла оставаться в рамках традиционной концепции, что материал разрушается при достижении некоторого критического напряжения. Вопрос о том, где взять энергию на образование разрыва образца, в этом случае не возникал.

Положение кардинально изменяется, если длина импульса растяжения оказывается меньше или сравнимой с размером образца. В этом случае нельзя забывать, что при отрыве материала совершается работа только за счет энергии импульса. В квазиакустическом приближении эта работа может происходить за счет запаса упругой энергии (УЭ), содержащейся в волне растяжения (ВР). Удельная УЭ при одноосной деформации есть $\sigma^2/(AE)$, где σ — напряжение растяжения, E — модуль Юнга, $A=2(1-\mu) \cdot [(1+\mu) \cdot (1-2\mu)]^{-1}$, μ — коэффициент Пуассона. Примем за критерий откола равенство запаса УЭ растяжения работе, совершаемой при отрыве материала. Очевидно,

$$\int_0^{l_0} \sigma^2 dx / (AE) = \lambda$$

или

$$\int_0^{l_0} \sigma^2 dx = \lambda AE = \text{const.} \quad (1)$$

Здесь λ — удельная на единицу поверхности работа отрыва материала, l_0 — длина ВР. Если форма волны растяжения не меняется в процессе ее распространения, то уравнение (1) может быть записано как

$$\int_0^{t_0} \sigma^2 dt = \lambda AE/c = \text{const}, \quad (2)$$

где $t_0 = l_0/c$. Равенство (2) совпадает с условием разрушения, полученным в работе [1].

Используя равенство (1), рассмотрим явление откола. Пусть при $t=0$ от свободной границы материала $x=0$ отражается волна сжатия с давлением на фронте p_0 , которое линейно спадает на длине l_0 . После завершения процесса отражения в обратном направлении будет распространяться ВР той же длины и амплитуды $\sigma_0 = -p_0$. Процесс формирования ВР схематически представлен на рис. 1 [5] в безразмерных координатах длины (X) и времени (T). Переход к этим координатам осуществлялся по формулам $X=x/l_0$ и $T=ct/l_0$. Безразмерное напряжение растяжения получалось согласно формулы $\Sigma = \sigma/\sigma_0$. На рис. 1 линии $X=T$ и $X=T-1$ отвечают фронту и хвосту ВР. В треугольнике, ограниченном линиями $X=0$, $X=T$ и $X=1-T$, напряжение растяжения не зависит от времени и в течение $\Delta T = 1-2X$ равно $\Sigma = 2X$. В полосе, ограниченной линиями $X=T$ и $X=T-1$, $\Sigma = 1+X-T$. Вне полосы, ограниченной линиями $X=T$, $X=T-1$, $\Sigma = 0$. Вид волны растяжения для $T=\text{const}$ показан в правой нижней, а для $X=\text{const}$ в левой верхней части рис. 1. Найдем, как растет величина интеграла в уравнении (1) по мере распространения фронта ВР (X_Φ). В области $0 \leq X_\Phi \leq 0,5$

$$I = \int_0^{X_\Phi} \Sigma^2 dX = 4X_\Phi^3/3. \quad (3)$$

¹ c — скорость звука в материале $\sim 5 \cdot 10^5$ см/с.

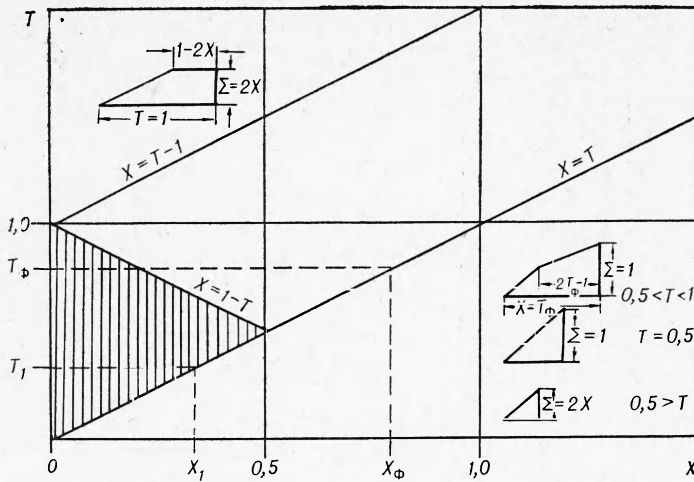


Рис. 1. $X-T$ -диаграмма импульса растяжения.

В области $0,5 \leq X_\phi \leq 1$ интеграл распадается на два

$$I = \int_0^{1-T_\phi} (2X)^2 dX + \int_{1-T_\phi}^{X_\phi} (1+X-T)^2 dX = [1 - 4(1-T_\phi)^3]/3. \quad (4)$$

Правые части уравнений (3) и (4) при $X_\phi = T_\phi = 0,5$ сшиваются и относительно точки $X=0,5$; $T=0,5$ образуют нечетную функцию, которая равна 0 при $T=0$, а при $T=1$ достигает максимума, равного $1/3$ или в размерных единицах $\sigma_0^2 l_0/3$. График этой функции приведен на рис. 2 (сплошная кривая), из которого следует, что по мере продвижения фронта ВР от $X_\phi=0$ до $X_\phi=1$ запас УЭ монотонно возрастает. Если при некотором значении X_ϕ он окажется достаточным для совершения работы на отрыв материала, то произойдет откол. Очевидно, что откол произойдет по наиболее ослабленному, поврежденному сечению (X_*) за фронтом ВР. В соответствии с работой [6] этому сечению соответствует максимум функции

$$\psi = \int_X^{T_\phi} \frac{t_0 dT}{\tau [\sigma(x, t)]}, \quad (5)$$

где $\tau = B \exp(-\alpha \sigma)$ — долговечность материала под нагрузкой, B и α — постоянные, характеризующие материал.

Найдем X_* в области изменения $0 \leq X_\phi \leq 0,5$, где $\sigma = 2\sigma_0 x/l_0$

$$\psi = \int_X^{T_\phi} \frac{t_0 dT}{\tau} = \frac{t_0(T_\phi - X)}{B} \exp(2\sigma_0 \alpha X). \quad (5')$$

Дифференцируя по координате (5') и приравнивая ее нулю с учетом $\exp(2\sigma_0 \alpha X) \neq 0$, найдем связь X_* с X_ϕ :

$$X_\phi - X_* = 1/(2\alpha\sigma_0). \quad (6)$$

Взяв для оценки вместо σ_0 статический предел прочности, убедимся, что по меньшей мере для металлов правая часть уравнения (6) много меньше

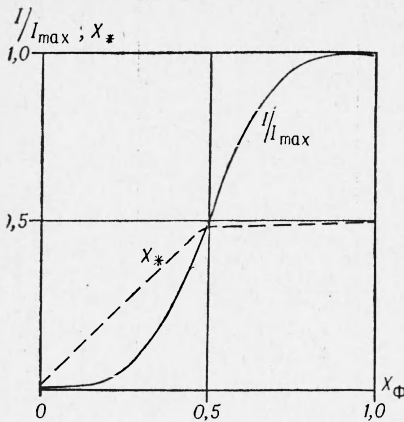


Рис. 2. Зависимость координаты критического сечения и энергии в волне растяжения от положения фронта растягивающего импульса.

$(1-X_\phi)$ X_* также не может находиться, так как здесь $\Sigma=2X$ и применимо уравнение (5'). Степень повреждения материала монотонно возрастает на этом участке.

Перейдем к анализу интервала $(1-X_\phi) < X \leq 0.5$. Для этой области уравнение (5) запишется в виде: $\psi = \int_X^{1-X} \frac{t_0 dT}{\tau_1} + \int_{1-X}^{T_\phi} \frac{t_0 dT}{\tau_2}$, где $\tau_1 = B \exp(-\alpha \sigma_0 2X)$ и $\tau_2 = B \exp[-\alpha \sigma_0 (1+X-T)]$. Вычислив ψ и проинтегрировав затем ее по координате и приравняв нулю, с учетом $\exp(\alpha \sigma_0 2X) \neq 0$, найдем связь X_* с X_ϕ

$$(T_\phi + X_* - 1) + (\alpha \sigma_0)^{-1} \cdot \ln[2\alpha \sigma_0 (1 - 2X_*)] = 0. \quad (7)$$

Анализ уравнения (7), с учетом $\alpha \sigma_0 \gg 1$, показывает, что при движении фронта ВР от 0,5 к 1, X_* стремится к $X=0,5$, оставаясь меньше $X=0,5$, как это показано на рис. 2 штриховой линией.

Таким образом, если постепенно поднимать интенсивность ВР, увеличивая σ_0 и (или) t_0 , то впервые откол произойдет при $X=0,5$. Уменьшение толщины откола при дальнейшем увеличении интенсивности ВР начнется только тогда, когда критическое значение интеграла в уравнении (1) будет достигаться при $X_\phi=0,5$ и меньше.

Заметим, что исходное предположение о том, что удельная УЭ в волне растяжения пропорциональна σ^2 , справедливо для ударных волн с амплитудой не более удвоенного значения предела текучести Гюгонио. Практическая граница применимости решения может быть заметно выше, так как одновременно с ростом давления в ударной волне растет и величина критического напряжения сдвига, которая и определяет предел текучести Гюгонио [7, 8].

Сравним найденное решение задачи об отколе с экспериментом. Решая уравнение (1) совместно с соотношениями $\sigma = 2\sigma_0 x/l_0$ и $dp/cdt = \sigma_0/l_0$, получим уравнение, которое должно описывать эксперимент в области $X_\phi \leq 0,5$, т. е. для p_0 , заметно больших напряжений откола

$$\sigma^3 (dp/dt)^{-1} = \text{const} = 12\lambda E \cdot \frac{(1-\mu)}{c(1+\mu)(1-2\mu)}. \quad (8)$$

Такому условию удовлетворяют эксперименты, приведенные в работах [9, 10] и пересчитанные в координаты σ , (dp/dt) в работе [4]. Их ре-

шее единицы. Таким образом, в области изменения $0 \leq X_\phi \leq 0,5$ откол должен происходить сразу за фронтом ВР.

Рассмотрим область изменения $0,5 \leq X_\phi \leq 1$. Покажем, что X_* может лежать только в интервале $(1-X_\phi) < X \leq 0,5$. Действительно, в области изменения координаты $0,5 < X \leq X_\phi$ ни одно из сечений не может быть наиболее ослабленным, так как давление на фронте ВР и скорость спада его одинаковы для всех значений X , но время действия ВР уменьшается при возрастании координаты от 0,5 к X_ϕ . Поэтому степень повреждения материала монотонно уменьшается при движении от $X=0,5$ к $X=X_\phi$. В области изменения X от 0 до

$(1-X_\phi) X_*$ также не может находиться, так как здесь $\Sigma=2X$ и применимо уравнение (5'). Степень повреждения материала монотонно возрастает на этом участке.

Перейдем к анализу интервала $(1-X_\phi) < X \leq 0,5$. Для этой области

уравнение (5) запишется в виде: $\psi = \int_X^{1-X} \frac{t_0 dT}{\tau_1} + \int_{1-X}^{T_\phi} \frac{t_0 dT}{\tau_2}$, где $\tau_1 = B \exp(-\alpha \sigma_0 2X)$ и $\tau_2 = B \exp[-\alpha \sigma_0 (1+X-T)]$. Вычислив ψ и проинтегрировав затем ее по координате и приравняв нулю, с учетом $\exp(\alpha \sigma_0 2X) \neq 0$, найдем связь X_* с X_ϕ

$(T_\phi + X_* - 1) + (\alpha \sigma_0)^{-1} \cdot \ln[2\alpha \sigma_0 (1 - 2X_*)] = 0. \quad (7)$

Анализ уравнения (7), с учетом $\alpha \sigma_0 \gg 1$, показывает, что при движении фронта ВР от 0,5 к 1, X_* стремится к $X=0,5$, оставаясь меньше $X=0,5$, как это показано на рис. 2 штриховой линией.

Таким образом, если постепенно поднимать интенсивность ВР, увеличивая σ_0 и (или) t_0 , то впервые откол произойдет при $X=0,5$. Уменьшение толщины откола при дальнейшем увеличении интенсивности ВР начнется только тогда, когда критическое значение интеграла в уравнении (1) будет достигаться при $X_\phi=0,5$ и меньше.

Заметим, что исходное предположение о том, что удельная УЭ в волне растяжения пропорциональна σ^2 , справедливо для ударных волн с амплитудой не более удвоенного значения предела текучести Гюгонио. Практическая граница применимости решения может быть заметно выше, так как одновременно с ростом давления в ударной волне растет и величина критического напряжения сдвига, которая и определяет предел текучести Гюгонио [7, 8].

Сравним найденное решение задачи об отколе с экспериментом. Решая уравнение (1) совместно с соотношениями $\sigma = 2\sigma_0 x/l_0$ и $dp/cdt = \sigma_0/l_0$, получим уравнение, которое должно описывать эксперимент в области $X_\phi \leq 0,5$, т. е. для p_0 , заметно больших напряжений откола

$$\sigma^3 (dp/dt)^{-1} = \text{const} = 12\lambda E \cdot \frac{(1-\mu)}{c(1+\mu)(1-2\mu)}. \quad (8)$$

Такому условию удовлетворяют эксперименты, приведенные в работах [9, 10] и пересчитанные в координаты σ , (dp/dt) в работе [4]. Их ре-

зультаты приведены на рис. 3. Найденные значения константы в уравнении (8) составили соответственно для стали, никеля, меди и алюминия $6,2 \cdot 10^{13}$; $3,65 \times 10^{13}$; $1,25 \cdot 10^{13}$; $0,43 \cdot 10^{13}$ кг \cdot с 2 /(м 2 \cdot с 3) и позволили отыскать λ после подстановки в (8) величин E и $\mu=0,3$.

Обратимся к другому типу экспериментов по отколу, когда ВР имеет П-образную форму. Такая ВР образуется при разлете материала пластин после их соударения. Так как в экспериментах такого рода напряжение растяжения постоянно, то

$$\sigma_0^2 l_0 = 2EA\lambda \quad \text{и} \quad \lambda = \sigma_0^2 l_0 / (AE), \quad (9)$$

где l_0 равно удвоенной толщине более тонкой пластины; $\sigma_0 = \rho v c / 2$; ρ — плотность материала пластины; v — пороговая скорость, при достижении которой происходит откол.

Наиболее полные эксперименты этого типа приведены в работах [3, 11, 12], которые позволили рассчитать величины λ . Результаты расчетов приведены в таблице. Там же, в последней строке, дано значение удельной работы хрупкого разрушения образцов из низколегированной стали. Эта величина следует из опытов [13], проведенных в лабораторных условиях методом падающего груза. Найденные значения λ , как это следует из таблицы, лежат в узком интервале (примерно порядок) и та последовательность материалов, в которой наблюдается рост λ , представляется оправданной. Примечательным является и тот факт, что близкие значения λ получены из экспериментов различных авторов, проведенных в различной постановке, в том числе и на лабораторных приборах [13].

Заметим, что критерий откола (1), являющийся следствием закона сохранения энергии, может быть получен из работ [14, 15], где рассмотрено влияние масштабных эффектов на хрупкое разрушение подобных конструкций. Проведенные эксперименты [14, 15] по разрушению взрывом замкнутых стальных сосудов позволяют также, независимо от экспериментов по отколу, оценить величину λ . Так, сосуды из

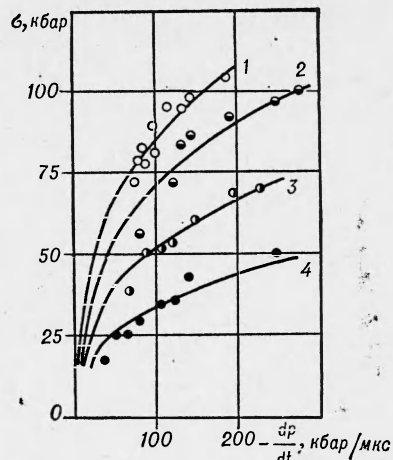


Рис. 3. Связь разрушающих напряжений (σ) со скоростью изменения давления в падающем импульсе сжатия для мягкой стали (1), никеля (2), меди (3) и алюминия (4).

Материал	$E \cdot 10^{-10}, \text{Н/м}^2$	Форма ВР	$\lambda \cdot 10^{-5}, \text{Дж/м}^2$	Литература
Свинец	1,6	Треугольная	0,09	[9]
Оргстекло	0,36	П-образная	0,12	[2, 12]
Алюминий 1100 (99 % Al)	7,0	Треугольная	0,2	[9, 3]
Медь	13,0	»	0,3	[9, 3]
Медь электролитическая, холоднокатанная	13,0	П-образная	0,2—0,5	Из данных Смита, приведенных в [11]
Никель	20	Треугольная	0,6	[9, 3]
Сплав алюминиевый АМГ-6	7,0	П-образная	1,7	[2, 12]
Мягкая сталь	20	Треугольная	0,9	[9, 3]
Сталь низколегированная (Х-52, Х-60)	20	«	1—4	[13]

Ст. 22к и Ст. 25 с радиусом $R=0,15$ м, разрушились вскоре после перехода через предел текучести. Приравнивая упругую энергию растяжения $(\sigma_g^2/2E) \cdot 4\pi R^2\delta$ работе на отрыв материала $\lambda \cdot 2\pi R^2\delta$, получим

$$\lambda = \sigma_g^2 R / E \sim 10^5 \text{ Дж/м}^2,$$

где $\sigma_g = 3,4 \cdot 10^8$ Н/м² — динамический предел текучести¹ Ст. 22к(25). Проведенная оценка находится в хорошем согласии с результатами таблицы.

Поступила в редакцию
20/IX 1974

ЛИТЕРАТУРА

1. B. Steverding, S. H. Lehnigk. J. Appl. Phys., 1970, **41**, 5.
2. В. И. Бетехтин, С. Н. Журков. Проблемы прочности, 1971, **3**, 2.
3. Б. А. Тарасов. Проблемы прочности, 1972, 12.
4. Н. А. Златин, Б. С. Иоффе. ЖТФ, 1972, XLII, 8.
5. F. R. Tuler, B. M. Witchell. Internat. J. Fracture Mech., 1968, **4**, 4.
6. Некоторые проблемы прочности твердого тела. Сборник. М.—Л., Изд-во АН СССР, 1959, с. 68.
7. П. В. Бриджмен. Исследование больших пластических деформаций и разрыва. М., ИЛ, 1955.
8. С. А. Новиков, Л. М. Синицына. ПМТФ, 1970, 6.
9. B. R. Breed, C. L. Mader, D. Venable. J. Appl. Phys., 1967, **38**, 8.
10. G. Nahmapi. CNRS, 1962, 109.
11. В. М. Бучер, Л. М. Баркер и др. РТК, 1964, 6.
12. Б. А. Тарасов. ПМТФ, 1973, 6.
13. Ударные испытания металлов. Сборник. М., «Мир», 1973.
14. А. Г. Иванов, В. А. Синицын, С. А. Новиков. Докл. АН СССР, 1970, **194**, 2.
15. А. Г. Иванов, С. А. Новиков, В. А. Синицын. ФГВ, 1972, **8**, 1.
16. G. Taylorg. J. of Inst. of Civil. Eng., 1946, 8.

УДК 662.215.1

СТАЦИОНАРНЫЙ РЕЖИМ ДЕТОНАЦИИ В СМЕСИ ГАЗООБРАЗНОГО ВВ С МЕЛКОДИСПЕРСНЫМ НАПОЛНИТЕЛЕМ

A. M. Гладилин

(Ленинград)

В работах [1, 2] было представлено численное решение задачи об одновременном распространении детонационной волны в смеси газообразного взрывчатого вещества с химически активным мелкодисперсным наполнителем. Из результатов этих работ следует, что на ранней стадии распространения детонационная волна существенно нестационарна. Ее поведение и структура в значительной степени зависят от физико-химических свойств мелкодисперсного наполнителя: начальный

¹ В соответствии с работой [16], при скорости деформации $\dot{\epsilon} = 10^2$ 1/с, которая имела место в рассматриваемых экспериментах, динамический предел текучести стали примерно на 20% выше статического.